

УДК 681.51.01

Иносов Сергей Викторович

Кандидат технических наук, доцент, доцент кафедры автоматизации технологических процессов,
orcid.org/0000-0001-8305-5514

Киевский национальный университет строительства и архитектуры, Киев

Бондарчук Ольга Вячеславовна

Кандидат технических наук, доцент, доцент кафедры автоматизации технологических процессов,
orcid.org/0000-0003-1893-1893

Киевский национальный университет строительства и архитектуры, Киев

СВЯЗЬ ОШИБОК ИЗМЕРЕНИЯ ТЕМПЕРАТУРЫ С ДИНАМИКОЙ РЕГУЛИРОВАНИЯ ТЕПЛОВОГО ОБЪЕКТА

Анотація. Дифференцирующий канал общепринятого пропорционально-интегрально-дифференциального (ПІД) регулятора резко усиливает высокочастотные шумы (в т.ч. погрешности измерения регулируемой величины) и делает этот фактор значимым при расчетах динамики регулирования тепловых объектов (несмотря на малость погрешности измерения температуры). В дифференциющем канале ПІД регулятора всегда предусматривается фильтрация высокочастотных шумов (так называемое "реальное дифференцирование"), что нужно учитывать при динамических расчетах (но обычно не делается). Рекомендуемая область применения ПІД регулятора ограничивается случаями, когда требуется предельно высокое быстродействие от системы автоматического регулирования и, одновременно, объект регулирования имеет очень малый уровень зашумленности (включая шумы измерения) – не больше 0.1 градуса (при рабочем диапазоне порядка 100 градусов). Во всех остальных случаях следует отключать дифференцирующий канал (использовать ПИ алгоритм регулирования).

Ключові слова: ПІД-регулятор; дифференцирование; регуляризация; погрешности измерения; тепловой объект; динамика регулирования

Постановка проблемы

Подавляющее большинство систем автоматического регулирования используются в тепловых технологических процессах [1 – 3]. Основной задачей автоматики является автоматическое поддержание заданной температуры за счет управления нагревом. Как правило, используется принцип регулирования по отклонению от задания, с контуром отрицательной обратной связи. Качество регулирования оценивается по динамическим критериям. Основным является время регулирования, которое следует минимизировать за счет правильного выбора алгоритма регулирования и настройки его параметров.

Тепловые процессы, как объекты регулирования имеют следующие, существенные для выбора регулятора, особенности.

1) Все тепловые объекты регулирования апериодические (т.е. не колебательные). Переходная функция таких объектов (реакция на скачок управляющего воздействия) монотонно возрастает и не содержит колебаний.

2) Тепловые объекты имеют запаздывание, оно

относительно мало в общей инерционности объекта и не является преобладающим. Тем не менее, наличие запаздывания является решающим фактором, ограничивающим предельно достижимое качество регулирования.

3) Уровень зашумленности тепловых объектов весьма мал. Термовая инерционность сглаживает колебания регулируемой величины. Точность измерения регулируемой величины (как правило, это температура) относительно высока.

В регулирующих микроконтроллерах обычно используется Пропорционально-Интегрально-Дифференциальный (ПІД) алгоритм регулирования, поскольку он близок к теоретически достижимому идеалу для реальных тепловых объектов с перечисленными особенностями [4; 5].

Наличие в ПІД-регуляторе дифференцирующего канала, резко усиливающего высокочастотные помехи (в т.ч. погрешности измерения регулируемой величины), порождает ряд метрологических проблем. С одной стороны, предъявляются очень жесткие требования к точности измерения регулируемой величины (температуры); с другой стороны, даже при погрешности измерения порядка 0.1 градуса, качество регулирования резко

ухудшается (по сравнению с идеальным расчетным случаем отсутствия шумов измерения). Указанные проблемы и являются предметом исследования в данной работе.

Аналіз післядніх ісследований і публікацій

На рис. 1 приведена типовая расчетная структурная схема (модель) динамики регулирования по отклонению, с контуром отрицательной обратной связи. Контур регулирования включает объект регулирования с передаточной функцией $W_0(p)$ и регулятор с передаточной функцией $W_1(p)$.

Передаточные функции на базе преобразования Лапласа являются математическими моделями, которыми традиционно описывают динамические свойства линейных инерционных стационарных объектов [1 – 3].

Регулируемая величина (температура в градусах) сравнивается с заданием и вычисляется рассогласование. В зависимости от рассогласования регулятор корректирует управляющее воздействие (мощность нагрева в % от номинала). Входными воздействиями являются изменения задания или внешних возмущений. Как правило, при динамических расчетах считается, что задание или возмущение изменяются скачком.

Если заданы передаточные функции объекта и регулятора, модель позволяет рассчитать переходные процессы (аналитически, с помощью операционного исчисления, или частотными методами, или численным моделированием во временной области). Выходными переменными являются регулируемая величина и рассогласование.

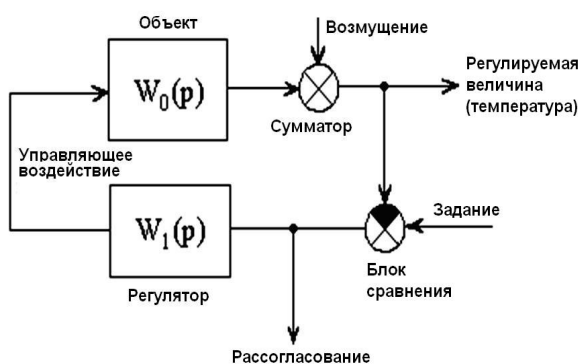


Рисунок 1 – Расчетная структурная схема динамики регулирования

Типовая передаточная функция теплового объекта имеет вид [4; 5]:

$$W_0(p) = \frac{K \cdot e^{-pT_3}}{(T_1 p + 1) \cdot (T_2 p + 1)}, \quad (1)$$

где K – статический коэффициент передачи объекта, T_3 – время запаздывания; T_1 , T_2 – первая и вторая

постоянные времени объекта; p – комплексный аргумент. Для рассматриваемого примера: $K = 1.5$ град./%, $T_1 = 1000$ с, $T_2 = 400$ с, $T_3 = 50$ с.

Передаточную функцию можно интерпретировать как формульное представление амплитудо-фазочастотной характеристики (АФЧХ) объекта, т.е. зависимости комплексного коэффициента усиления от круговой частоты ω , где $p = j\omega$ (j – мнимая единица). АФЧХ определяет зависимость выхода (температуры) объекта от входа (мощности нагрева) при использовании частотных спектральных методов расчета.

Приведенная модель объекта (1) может считаться универсальной, пригодной для расчета динамики регулирования любых тепловых объектов, так как она учитывает все существенные особенности таких объектов: статизм, наличие апериодических инерционностей (учитываются две основные с постоянными временем T_1 и T_2) и наличие запаздывания e^{-pT_3} , которое относительно мало в общей инерционности объекта, но сильно влияет на качество регулирования. Даже если объект не имеет «транспортного» запаздывания, передаточная функция e^{-pT_3} интегрально учитывает все малые инерционности, не учтенные двумя основными постоянными временем.

В учебниках, как правило, приводится идеальная (не регуляризованный) передаточная функция ПИД-регулятора, связывающая рассогласование с управляющим воздействием:

$$W_1(p) = K_p \cdot \left(T_d \cdot p + 1 + \frac{1}{T_i p} \right) \quad (2)$$

Основные параметры настройки ПИД-регулятора: K_p – коэффициент пропорциональности; T_i – постоянная времени интегрирования; T_d – постоянная времени дифференцирования. Им должны быть присвоены численные значения, оптимальные для заданного объекта регулирования (т.н. «настройка» регулятора).

Рекомендуются следующие формулы для упрощенной (предварительной) настройки параметров ПИД-регулятора в зависимости от известных параметров объекта регулирования: [4]

– коэффициент пропорциональности

$$K_p = 0.4 \frac{T_1 + T_2}{K \cdot T_3}; \quad (3)$$

– постоянная времени дифференцирования

$$T_d = \frac{T_1 \cdot T_2}{T_1 + T_2}; \quad (4)$$

– постоянная времени интегрирования

$$T_i = T_1 + T_2. \quad (5)$$

Формулы получены из условия минимальности времени регулирования.

Для рассматриваемого примера:

$$K_p = 9\%/\text{град}, T_i = 1400 \text{ с}, T_d = 286 \text{ с},$$

Цель статьи

В идеальном виде передаточная функция (2) физически нереализуема, так как усиление шумов, которые всегда присутствуют, стремится к бесконечности на высоких частотах в дифференцирующем канале. На рис. 2 приведена логарифмическая амплитудо-частотная характеристика (ЛАЧХ) идеального ПИД-регулятора (точечный график). ЛАЧХ показывает, как усиление зависит от частоты. Расчет выполнен с помощью программного средства Matcad.

Подставляем $j\omega$ (ω – круговая частота; j – мнимая единица) вместо p в передаточную функцию, вычисляем модуль результата, строим график в логарифмических координатах. Это и будет ЛАЧХ.

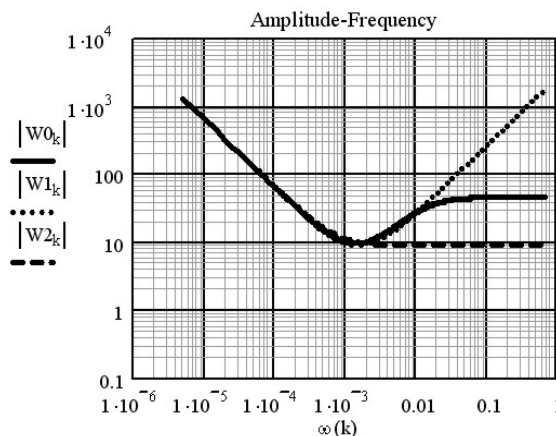


Рисунок 2 – Логарифмические амплитудо-частотные характеристики (ЛАЧХ) идеального ПИД-регулятора (точечный график), реального ПИД-регулятора (сплошная линия) и ПИ-регулятора (пунктир)

Для ограничения усиления дифференцирующего канала на высоких частотах (регуляризации ПИД-регулятора) в него вводится апериодическое звено с постоянной времени τ . Она меньше, чем основные постоянные времени T_i , T_d . Для рассматриваемого примера $\tau = 71$ с. Соотношение T_d/τ – определяет коэффициент усиления высоких частот.

Передаточная функция реального ПИД-регулятора имеет вид:

$$W_1(p) = K_p \cdot \left(\frac{T_d \cdot p}{\tau \cdot p + 1} + 1 + \frac{1}{T_i p} \right). \quad (6)$$

На рис. 2 приведена логарифмическая амплитудо-частотная характеристика (ЛАЧХ) реального ПИД-регулятора (сплошная линия). Усиление на высоких частотах ограничено.

Если объект регулирования сильно зашумлен, то дифференцирующий канал вообще отключается. В результате получим ПИ-регулятор с передаточной функцией:

$$W_1(p) = K_p \cdot \left(1 + \frac{1}{T_i p} \right). \quad (7)$$

ПИД-регулятора, когда $T_d = 0$.

На рис. 2 приведена логарифмическая амплитудо-частотная характеристика (ЛАЧХ) ПИ-регулятора (пунктир). Усиление на высоких частотах отсутствует.

Несмотря на малость погрешности измерения температуры (порядка 0.1 градуса), дифференцирующий канал ПИД-регулятора резко усиливает шумы измерения и делает этот фактор значимым, даже при наличии подавления высокочастотных шумов. Целью является исследование взаимодействия реальных погрешностей измерения температуры с реальным дифференцирующим каналом ПИД-регулятора и их совместного влияния на качество регулирования температуры.

Изложение основного материала

Исследование проводилось путем компьютерного моделирования динамики регулирования в реальном времени в среде программирования VisSim (Visual Simulation). На рис. 3, 4, 5 приведены иллюстрирующие копии экрана.

На рис. 3 приведена расчетная модель реального ПИД-регулятора с учетом погрешностей измерения температуры, неидеальностью дифференцирования и ограничением управляющего воздействия. Модель погрешности измерения включает добавку «белого шума» (среднеквадратичное значение 0.02 град.) и квантование по уровню (порог квантования 0.2 град.). ПИД-регулятор имеет три параллельных канала – интегрирующий, пропорциональный и дифференцирующий. VisSim использует букву s (вместо традиционной буквы p) для обозначения комплексного аргумента передаточных функций

Управляющее воздействие ограничивается диапазоном 0 – 100%.

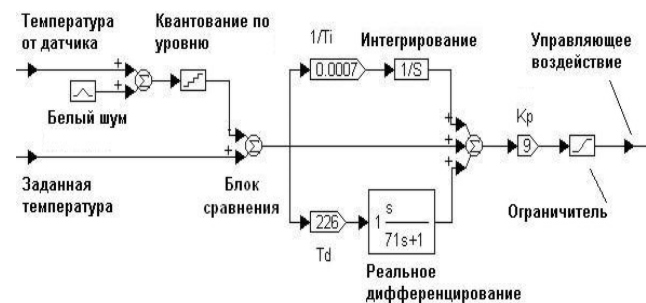


Рисунок 3 – Расчетная модель реального ПИД-регулятора с учетом погрешностей измерения температуры, неидеальностью дифференцирования и ограничением управляющего воздействия

Рис. 4 ілюструє динаміку системи автоматичного регулювання температури з вищеописаним реальним ПІД-регулятором. Модель об'єкта регулювання Plant реалізує вищеописанну передаточну функцію $W_0(p)$. Нумерація графіков: 1 – задання температура; 2 – фактична температура; 3 – управлююче діяння. Задання зростає скачком на 30 градусів, а потім ще раз зростає скачком на 10 градусів. Численні значення параметрів настройки ПІД-регулятора вибрані з умови мінімуму часу регулювання.

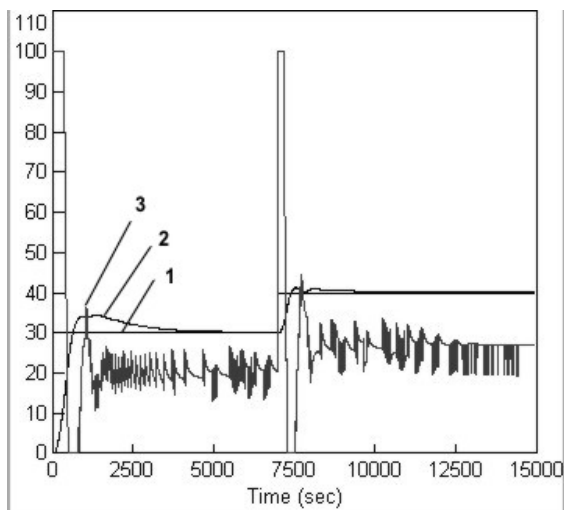


Рисунок 4 – Динаміка системи автоматичного регулювання температури з реальним ПІД-регулятором з урахуванням похибок вимірювання температури: 1 – задання температура; 2 – фактична температура; 3 – управлююче діяння

Хотя похибка вимірювання температури чисто-жно мала (середньоквадратична похибка 0.15 градуса) і незадемтна на графіку 2, вона підвищується диференціуючим каналом регулятора і приводить до недопустимо великої зашумленості управлюючого діяння 3 (порядок 10 – 15%). Крім того, при змінах задання набуваються чрезмерно сильні маніпуляції управлюючим діянням (до 100% і зворотно). Це зменшує ресурс роботи виконавчого механізма і управлюючого органа.

Рис. 5 ілюструє динаміку системи автоматичного регулювання температури з ПІ-регулятором (частий випадок настройки ПІД-регулятора, коли постійна часу диференціювання T_d дорівнює нулю). Нумерація графіків: 1 – задання температура; 2 – фактична температура; 3 – управлююче діяння. Численні значення параметрів настройки ПІ-регулятора вибрані з умови мінімуму часу регулювання.

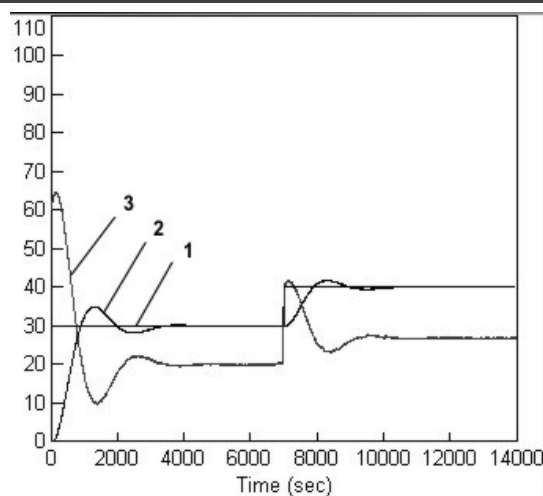


Рисунок 5 – Динаміка системи автоматичного регулювання температури з ПІ-регулятором: 1 – задання температура; 2 – фактична температура; 3 – управлююче діяння

Зашумленість управлюючого діяння чисто-жно мала. Режим використання виконавчого при резких змінах задання щадящий. Це підвищує ресурс роботи виконавчого механізма і управлюючого органа. Однак, по порівнянню з ПІД-регулятором, час регулювання зростає в 1.5 – 2 рази.

Выводы

1. Базовим промисловим алгоритмом регулювання є Пропорціально-Інтегрально-Диференціальний (ПІД-регулятор). Частий випадок – випадок настройки ПІД-регулятора, коли постійна часу диференціювання рівна нулю (диференціюючий канал вимкнено), називається ПІ-регулятором.

2. ПІД-регулятор слідует використовувати тільки при одночасному виконанні двох умов:

- об'єкт регулювання має дуже малий рівень високочастотних шумів (включаючи шуми вимірювання та наводки) – не більше 0.1 градуса (при робочому діапазоні порядку 100 градусів);

- якщо потрібно підвищити швидкодієво-стю відповіді системи автоматичного регулювання.

Во всіх інших випадках слідует використовувати ПІ-регулятор.

3. Преимуществом ПІД-регулятора є менший час регулювання (в 1.5 – 2 рази). Недостатком є значна зашумленість управлюючого діяння та чрезмерно інтенсивні маніпуляції управлюючим діянням. Це зменшує ресурс роботи виконавчого механізма і управлюючого органа.

4. Преимуществом ПІ-регулятора є щадящий режим використання виконавчого

механизма. Недостаток – несколько большее время регулирования (в 1.5 – 2 раза).

5. В дифференцирующем канале ПИД-регулятора обязательно предусматривается подавление высокочастотных шумов (так называемое "реальное дифференцирование"), что нужно учитывать при динамических расчетах (но обычно не делается). Идеальное дифференцирование (обычно используемое в расчетах) физически нереализуемо, так как коэффициент усиления

высокочастотных шумов (в т.ч. шумов измерения) стремится к бесконечности. При реальной погрешности измерения температуры порядка 0.1 градуса, коэффициент усиления высокочастотных шумов не должен превышать значения 3 – 4. При этом расчетное быстродействие системы автоматического регулирования оказывается существенно меньше, чем для идеального расчетного варианта.

Список литературы

1. Попович М.Г., Ковальчук О.В. Теорія автоматичного керування: Підручник. – К. : Либідь, 2007. – 656 с..
2. Ладанюк А.П., Архангельська К.С. Теорія автоматичного керування (частина I): Конспект лекцій. – К.: НУХТ, 2007. – 102 с.
3. Абраменко І.Г., Абраменко Д.І. Теорія автоматичного керування: Конспект лекцій. – Х.: ХНАМГ, 2008. – 178 с.
4. Йосов С.В., Корниченко В.М. Оптимізація алгоритма автоматичного регулювання тепловими процесами. Управління розвитком складних систем. – № 13. – 2013. – С. 104 – 108.
5. Йосов С.В., Корниченко В.М., Гречуха В.В. Алгоритм автонастроїки пропорціально-інтегрального регулятора з використанням бигармонічного пробного возмущення. Управління розвитком складних систем. – 2014. – № 19. – С. 104-108.
6. Плескунов М. А. Операционное исчисление: учебное пособие. – Екатеринбург: Издательство Уральского университета, 2014. – 141 с.
7. Ізerman Р., Цифровые системы управления. –М.: МИР, 1984. – 541 с.
8. Поляков К.Ю. Основы теории цифровых систем управления: учебное пособие. – С.Петербург: Издательский центр СПбГМТУ, 2006. – 162 с.
9. Зімчук І.В., Іщенко В.І., Канкін І.О. Синтез алгоритмів цифрового управління для автоматичних слідкувальних систем // Системні дослідження та інформаційні технології. – № 1. – 2015.
10. Йосов С.В. Калькулятор алгебри решетчатых функцій. Труды 15-й международной конференции по автоматическому управлению «АВТОМАТИКА-2008». Одесская национальная морская академия. 2008 , –232 с.
11. Острем К., Виттенмарк Б. Системы управления с ЭВМ. – М.: МИР, 198., – 480 с.

Статья поступила в редакцию 10.09.2018

Рецензент: д-р техн. наук, проф. М.В. Мыслович, заведующий научным отделом Института электродинамики НАН Украины, Киев.

Іносов Сергій Вікторович

Кандидат технічних наук, доцент кафедри автоматизації технологічних процесів, orcid.org/0000-0001-8305-5514

Київський національний університет будівництва і архітектури, Київ

Бондарчук Ольга Вячеславовна

Кандидат технічних наук, доцент кафедри автоматизації технологічних процесів, orcid.org/0000-0003-1893-1893

Київський національний університет будівництва і архітектури, Київ

ЗВ'ЯЗОК ПОХИБОК ВИМІРЮВАННЯ ТЕМПЕРАТУРИ З ДИНАМІКОЮ РЕГУЛЮВАННЯ ТЕПЛОВОГО ОБ'ЄКТА

Анотація. Диференціюючий канал пропорційно-інтегрально-диференціюючого (ПІД) регулятора різко підсилює високочастотні шуми (в т.ч., похибки вимірювання величини, що регулюється) і робить цей фактор значущим при розрахунках динаміки регулювання теплових об'єктів (неважаючи на малу похибку вимірювання температури). В диференціюючому каналі ПІД регулятора зажади передбачається фільтрація високочастотних шумів (так зване "реальне диференцировання"), що треба враховувати при динамічних розрахунках (але зазвичай не робиться). Область використання ПІД регулятора, що рекомендується, обмежується випадками, коли вимагається максимально висока швидкодія від системи автоматичного регулювання і, водночас, об'єкт регулювання має дуже малий рівень зашумленості (включаючи шуми вимірювання) – не більше 0.1 градуса (при робочому діапазоні порядка 100 градусів). У всіх інших випадках треба відключати диференціюючий канал (використовувати ПІ алгоритм регулювання).

Ключові слова: ПІД-регулятор; диференціювання; регуляризація; похибки вимірювання; тепловий об'єкт; динаміка регулювання

Inosov Sergei

PhD, Associate professor, Department of Process Automation, orcid.org/0000-0001-8305-5514

Kyiv National University of Construction and Architecture, Kiev

Bondarchuk Olga

PhD, Associate professor, Department of Process Automation, orcid.org/0000-0003-1893-1893

Kyiv National University of Construction and Architecture, Kiev

RELATION BETWEEN TEMPERATURE MEASUREMENT ERROR WITH REGULATION DYNAMICS OF A THERMAL PLANT

Abstract. Differentiating channel of a conventional proportional-integrating-differentiating (PID) controller significantly increases high frequency noise, (including controlled variable measurement errors) making this a significant factor when calculating regulation dynamics of thermal plants (despite insignificance of temperature measurement error). The differentiating channel of PID controller always provides filtering of high-frequency noise (so-called "real differentiation"), which is to be taken into consideration, when calculating regulation dynamics of automatic control (but usually is not). Recommended application field for PID-controller is limited to cases, where maximal speed of reaction is required from the automatic control system and, simultaneously, the plant has a very low noise level (including measurement noise) - not more than 0.1 degree (at an operating range of about 100 degrees). In all other cases, the differentiating channel should be disabled (PID control algorithm converts into PI control algorithm). The advantage of PID controller is shorter regulation time (1.5 – 2 times). The disadvantage is significant noisiness and excessively intensive manipulation of the control action. This reduces the life-time of the actuator.

Keywords: PID controller; differentiation; regularization; measurement error; thermal plant; regulation dynamics

References

1. Popovich, M.G., Kovalchuk, V.A. (2007). *Theory of automatic control: Textbook*. K.: Lybid, 656.
2. Ladaniuc, A.P., Arkhangelskaya, K.S. (2007). *Theory of automatic control (part 1): Abstract of lectures*. Kiev: KNUCA, 102.
3. Abramenco, G.I., Abramenco, D.I. (2008). *Theory of automatic control: the Abstract of lectures*. Kharkov: HNAMG, 178.
4. Inosov, S.V., Kornienko, V.M. (2013). Optimization of the algorithm for automatic control of thermal processes. *Management of development of complex systems*, 13, 104 – 108.
5. Inosov, S.V., Kornienko, V.M., Grechucha, V.V. (2014). An adaptation algorithm for proportional-integral action controller with biharmonic trial disturbance. *Management of development of complex systems*, 19, 104 – 108
6. Pleskunov, M.A. (2014). *Operational calculus: a tutorial*. Ekaterinburg. Publishing house of the Ural University, 141.
7. Isermann, R. (1984). *Digital control systems*. Moscow, MIR, 541.
8. Polyakov, K. (2006). *Basic theory of digital control systems*. Textbook.. St. Petersburg. Publishing center SPBGMTU, 162.
9. Zimchuk, I.V., Ishchenko, V.I., Kankin, I.O. (2015). Synthesis of algorithms of digital control for automatic tracking systems. *System research and information technologies*, 1, 32 – 38.
10. Inosov, S.V. (2008). Calculator for algebra of sampled functions. *Proceedings of the 15th international conference on automatic control "AUTOMATION-2008"*. Odessa national Maritime Academy, 232.
11. Astrom, K. & Wittenmark, B. (1987). *Computer controlled systems*. Moscow, MIR, 480.

Ссылка на публикацию

APA Inosov, Sergei & Bondarchuk, Olga. (2018). Relation between temperature measurement error with regulation dynamics of a thermal plant. *Management of development of complex system*, 35, 162 – 167 [in Russian].

ГОСТ Иносов С.В. Связь ошибок измерения температуры с динамикой регулирования теплового объекта [Текст] / С.В Иносов, О.В Бондарчук // Управление развитием сложных систем. – 2018. – № 35. – С. 162 – 167.